

## IV-4.8 PRC 柱におけるクリープおよび収縮の影響について

北海道大学工学部 正員 工博 横道英雄  
同 大学院 学生員 ○角田与史雄

PRC 柱において P C 鋼断面積がかなり大きい場合には、コンクリートのクリープおよび収縮による応力変化を計算する際に P C 鋼を無視することができない。この場合は次のように計算される。図 1 は任意時刻 t におけるコンクリート応力を示すが、統一して状時間にコンクリートはクリープおよび収縮によって鉄筋位置では  $\{(\delta_{cs})_t + \omega E_c / 4\} d\varphi$  の差が生ずるから鉄筋の拘束によって  $-(\delta_{cs})_t + \omega E_c / 4$  の軸応力を生ずる。 $\omega$  はクリープ係数および収縮率である。P C 鋼位置に対しても上と同様であるから、結局次の微分方程式が成立す。

$$\left. \begin{aligned} d(\delta_{cs})_t / d\varphi + d_{ss}\{(\delta_{cs})_t + \omega E_c / 4\} + \delta_{sp}\{(\delta_{cp})_t + \omega E_c / 4\} = 0 \\ d(\delta_{cp})_t / d\varphi + d_{sp}\{(\delta_{cs})_t + \omega E_c / 4\} + d_{pp}\{(\delta_{cp})_t + \omega E_c / 4\} = 0 \end{aligned} \right\} \quad (1)$$

$$\left. \begin{aligned} d_{ss} = m A_s / A_i (1 + e_s^2 / p_s^2), \quad \delta_{sp} = m_p A_p / A_i (1 + e_{sp} / p_s^2) \\ d_{pp} = m A_s / A_i (1 + e_{sp} / p_s^2), \quad \delta_{cp} = m_p A_p / A_i (1 + e_p^2 / p_s^2) \end{aligned} \right\} \quad (2)$$

$\omega$  は  $P_i$  に対する  $A_i$  に對する回転半径である。初期条件  $(\delta_{cs})_{t=0} = \delta_{cs0}$ ,  $(\delta_{cp})_{t=0} = \delta_{cp0}$  を考慮して (1) 式を解けば

$$\delta_{cs} = K_1 e^{A\varphi} + K_2 e^{B\varphi} - \omega E_c / 4, \quad \delta_{cp} = K_3 e^{A\varphi} + K_4 e^{B\varphi} - \omega E_c / 4 \quad \quad \quad (3)$$

$$\therefore \delta_{sq} = \delta_{cs} - \delta_{cs0}, \quad \delta_{cpq} = \delta_{cp} - \delta_{cp0}$$

$$\left. \begin{aligned} A, B = - \frac{d_{ss} + d_{pp}}{2} \pm \sqrt{\left( \frac{d_{ss} + d_{pp}}{2} \right)^2 - (d_{ss} d_{pp} - d_{sp} d_{ps})} \end{aligned} \right.$$

$$K_1 = \frac{1}{A-B} \{ (A + d_{pp}) (\delta_{cs0} + \omega E_c / 4) - d_{sp} (\delta_{cp0} + \omega E_c / 4) \}, \quad K_2 = - \frac{1}{A-B} \{ (B + d_{pp}) (\delta_{cs0} + \omega E_c / 4) - d_{sp} (\delta_{cp0} + \omega E_c / 4) \} \quad (4)$$

$$K_3 = \frac{1}{A-B} \{ (A + d_{ss}) (\delta_{cp0} + \omega E_c / 4) - d_{ps} (\delta_{cs0} + \omega E_c / 4) \}, \quad K_4 = - \frac{1}{A-B} \{ (B + d_{ss}) (\delta_{cp0} + \omega E_c / 4) - d_{ps} (\delta_{cs0} + \omega E_c / 4) \} \quad (4)$$

これより鋼材の応力は  $\delta_{sq} = - \int_m \{ (1 - d_{ss}) (\delta_{cs} + \frac{\omega E_c}{4}) - d_{sp} (\delta_{cp} + \frac{\omega E_c}{4}) \} d\varphi \dots$  等により求められ、結局

$$\delta_{sq} = n (1 - d_{ss}) T_1 - n d_{sp} T_2, \quad \delta_{pq} = m_p (1 - d_{pp}) T_2 - m_p d_{ps} T_1 \quad \quad \quad (5)$$

$$\left. \begin{aligned} T_1 = \frac{K_1}{A} (1 - e^{A\varphi}) + \frac{K_2}{B} (1 - e^{B\varphi}), \quad T_2 = \frac{K_3}{A} (1 - e^{A\varphi}) + \frac{K_4}{B} (1 - e^{B\varphi}) \end{aligned} \right.$$

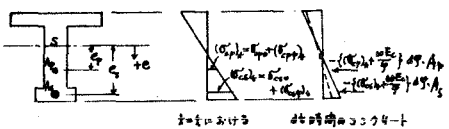
またクリープおよび収縮によって生じた曲率の増加は  $\{\delta_{sq}/E_s - \delta_{pq}/E_p\} / (e_s - e_p)$  であるから、これを全周全体にわたって積分することにより、たわみおよびたわみ角の変化を知ることができる。またクリープおよび収縮によってコンクリートのひびわれ安全性は、両鋼材位置にそれぞれ

$$T_{sq} = A_s (\delta_{sq} + m \delta_{sqq}), \quad T_{pq} = A_p (\delta_{pq} + m_p \delta_{cpq})$$

なる軸力を生じたと同じだけ高くなる。

以上はコンクリート全断面を有効とした場合であるが、PRC 柱においては P C 柱と異なってプレストレス導入前および設計荷重下ではコンクリートのひびわれを許容することが考えられるから、この場合には上式と状態が異なって、引張側コンクリートを無視して求めた断面係数および応力を用いて上式から計算した値に近づくと考えられる。

以上から、ひびわれを生じた後、さらに生じない R C 柱にプレストレスを導入した各 1 本の PRC 柱に持続荷重を載荷し、クリープおよび収縮の影響を調べたが、ここには後者の結果のみを



$\delta_{sq}$  はコンクリート  
クリープ応力  
 $\delta_{pq}$  は鋼材  
応力  
 $S$  は接算断面  $A_S = A_c + m A_S + n_p A_p$  に対する重心  
 $\delta_{cs0}, \delta_{cp0}$  は初期状態におけるプレストレスによる鋼筋ならびに  
P C 鋼位置のコンクリートの応力

図-1

示す。

試験片の形状寸法は図-2に示すもので、使用したコンクリートは単位セメント量 271 kg、水セメント比 60%で、セメントは早強セメントを用い、骨材最大寸法は 15 mm であった。打設後 3 日間湿潤養生し、5 日目に有効プレストレス  $P_0 = 3.58 \text{ t}$  ( $\sigma_{p0} = 9300 \text{ kg/cm}^2$ ) を導入し、9 日目に支間 3 等分点に合計 2 t の持続荷重を載荷し、支間中央において、コニタクトストレイン -  $\epsilon$  によりフランジ上縁およびウェブ鉄筋位置の歪み、ダイヤルゲージ ( $Y=100 \text{ mm}$ ) により左わみを測定した。

これと同時に巾 25 cm、高さ 8 cm、支間 3 m の無筋コンクリート矩形柱で自重による左わみの変化からクリヤー係数  $\gamma$ 、PRC と柱と同じ断面形状の無筋コンクリート柱で収縮率を測定したが、その結果を図-3 に示す。

これが  $\gamma$  R C 柱の歪および左わみの実測値と計算値を比較すれば図-4 および 5 となる。ただし計算値は圧縮鉄筋の影響も考慮に入れ、またプレストレス導入から試験開始までの間、 $\gamma = 0.7$  および  $W = 7.0 \times 10^{-5}$  を見込み、かつ  $\gamma$  と  $W$  が比例してならないため、日数を数ヶに分割してその間の  $\gamma$ 、 $W$  および  $E_c$  の値を用いて計算したものである。これによれば、コンクリートの養生が不十分だったため、載荷直後から引張側コンクリートは塑性域に入り、およそ 20 日後に予定しなかつた数本の微小な収縮ひびわれが入ったため、引張側の歪および左わみはコンクリート全断面有効とする計算値よりも大きくなっているが概してよく一致している。しかしこのひびわれの発生によってクリヤー係数および収縮による PR と柱のひびわれ性状を較べるのに不十分であった。

なお、実験中の室温の温度は平均 12~7°C、1 日内の温度変化は 3°C 以下であり、湿度は 70~80% であった。

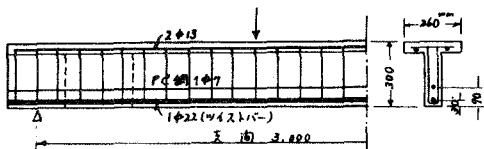


図-2 試験片の形状寸法

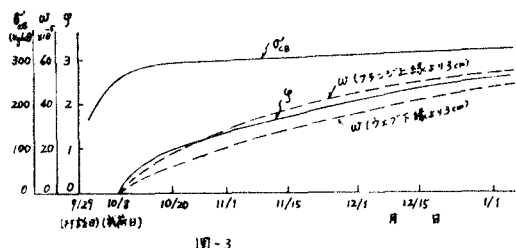


図-3

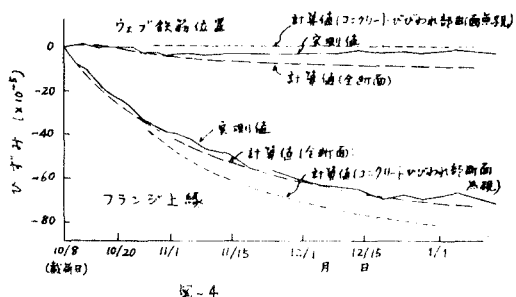


図-4

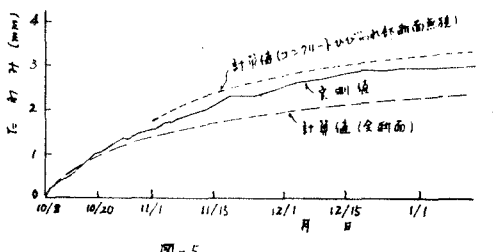


図-5